

## Al(OH)<sub>3</sub>-SiO<sub>2</sub>-AlF<sub>3</sub>계에서 물라이트 휘스커 합성과 열분석

이홍림 · 이영우\* · 이정원\* · 강종봉†

경남대학교 신소재공학과

\*한국원자력연구소

### Synthesis and Thermal Analysis of Mullite Whiskers in Al(OH)<sub>3</sub>-SiO<sub>2</sub>-AlF<sub>3</sub> System

Hong-Rim Lee, Young-Woo Lee\*, Jung-Won Lee\* and Jong-Bong Kang†

Department of Advanced Materials Engineering, Kyungnam University, Masan 631-701, Korea

\*Korea Atomic Energy Institute

(2005년 8월 8일 받음, 2005년 9월 23일 최종수정본 받음)

**Abstract** The thermal analysis of Al(OH)<sub>3</sub>-SiO<sub>2</sub>-AlF<sub>3</sub> system was done. The thermal behaviors of components and the effect of moisture on the formation of mullite were investigated via TG-DTA and XRD analysis. The mixture of Al(OH)<sub>3</sub>, SiO<sub>2</sub>, AlF<sub>3</sub> showed two endothermic peaks with drastic weight loss and one exothermic peak. Fluorotopaz was formed at 800°C and turned into mullite completely at 1100°C. But the mixture of Al<sub>2</sub>O<sub>3</sub> or dehydrated Al(OH)<sub>3</sub> and SiO<sub>2</sub> could not form mullite even at 1200°C in which the crystalline phases were  $\alpha$ -Al<sub>2</sub>O<sub>3</sub> and cristobalite. It was found that the synthesized mullite was aciculate shaped single crystalline whisker.

**Key words** mullite whiskers, fluorotopaz, TG-DTA.

### 1. 서 론

물라이트는 고온에서의 기계적 특성 및 화학적 안정성이 뛰어나고 열충격 저항성이 우수하여 고온에서 사용되는 내화재료로 많이 이용되고 있으며 최근에는 고온에서 응용되는 구조재료로 주목 받고 있다.<sup>1)</sup> 특히 휘스커상의 물라이트가 다공성 세라믹 재료나 복합재료의 기지상 또는 강화재 재료로 높은 가능성을 주목받고 있으며 이와 함께 휘스커상의 물라이트 합성에 관한 많은 연구들이 수행되어 왔다.

Okada와 Otsuka<sup>2)</sup>는 Al<sub>2</sub>O<sub>3</sub>-SiO<sub>2</sub> xerogel과 AlF<sub>3</sub> 혼합물을 기밀용기에 넣고 열처리하여 기상-고상반응을 통하여 물라이트 휘스커를 합성하였다. Talmy와 Haught<sup>3-5)</sup>는 AlF<sub>3</sub>, SiO<sub>2</sub>, Al<sub>2</sub>O<sub>3</sub> 분말을 혼합하고 1400°C에서 열처리하여 물라이트 휘스커를 합성하였으며 물라이트가 합성되기 이전에 토퍼즈상이 합성된다는 것을 관찰하였다. Ismail 등<sup>6)</sup>은 Okada와 Otsuka<sup>2)</sup>와 비슷한 실험방법을 사용하였으나 AlF<sub>3</sub> 대신에 HF를 사용하였다. 용융물로부터 물라이트 휘스커의 합성은 Perera와 Allott<sup>7)</sup> 그리고 Katsuki 등<sup>18)</sup>에 의해 이미 연구되어졌으며 카울린 광물(2SiO<sub>2</sub> ·

Al<sub>2</sub>O<sub>3</sub> · 2H<sub>2</sub>O)을 1600°C 이상의 온도에서 열처리하여 합성하였다.

본 실험에서는 물라이트 휘스커를 합성하기 위해 출발물질로 활성이 높아 낮은 온도에서 물라이트가 합성될 것으로 판단되고 열적특성이 잘 알려져 있는 Al(OH)<sub>3</sub>, 비정질 SiO<sub>2</sub>, AlF<sub>3</sub>가 사용되었다. Al(OH)<sub>3</sub>는 물라이트 합성에 필요한 Al과 수분의 공급처로 사용되었다. 일반적으로 열처리온도에 따라서 여러 상들을 거치게 되고 최종적으로 안정상인  $\alpha$ -Al<sub>2</sub>O<sub>3</sub>로 전이되어진다고 알려져 있다.<sup>9)</sup> 또한 360~800°C 온도 범위에서 급속 열분해하면 대부분  $\rho$ -Al<sub>2</sub>O<sub>3</sub>인 비정질 알루미나로 분해되고,  $\chi$ -Al<sub>2</sub>O<sub>3</sub>와  $\gamma$ -Al<sub>2</sub>O<sub>3</sub> 및 Boehmite가 생성된다고 보고되고 있다.<sup>10)</sup> 비정질 SiO<sub>2</sub>는 비표면적이 넓어 활성이 매우 높을 것으로 기대되어 사용되었다. 일반적으로 SiO<sub>2</sub>는 열처리 온도에 따라 상온 안정 구조인 Quartz, 870°C 이상의 온도에서는 Tridymite, 1470°C 이상의 온도에서는 Cristobalite 결정상으로 전이된다고 알려져 있다. AlF<sub>3</sub>는 물라이트 합성시 기상반응제와 AI 공급원으로 사용되었다. 약 1300°C에서 급격한 분해가 일어나며 매우 안정하고 열 등에 의하여 분해되지 않으며 물의 존재 하에 400°C에서 분해를 일으켜 알루미나와 HF를 생성한다고 알려져 있다.

본 실험의 목적은 Al(OH)<sub>3</sub>, 비정질 SiO<sub>2</sub>, AlF<sub>3</sub>를 출발

\*E-Mail : jbkmat@kyungnam.ac.kr

물질로 하는 혼합분말을 휘스커상의 물라이트로 합성하는데 있어 열분석을 통하여 각 성분들의 열적거동과 상호반응을 이해하고자 하였고 특히 물라이트 합성반응 과정 중의 수분의 영향을 살펴보고자 하였다.

## 2. 실험 방법

출발원료로는 평균입경이 2  $\mu\text{m}$ 이하인 Al(OH)<sub>3</sub>(H-42, Showadenko)와 평균입경이 18  $\mu\text{m}$ 인 비정질 SiO<sub>2</sub>(Zeosil 55, Kofran) 그리고 기상반응을 유도하는 AlF<sub>3</sub>(Duksan Pure Chemical Co., Ltd.)를 불화물 첨가제로 사용하였으며, 수분의 영향을 알아보기 위한 실험에서는 Al(OH)<sub>3</sub>를 800°C에서 1시간 동안 하소시킨 분말을 사용하였다.

Al<sub>2</sub>O<sub>3</sub>-SiO<sub>2</sub>계의 중간안정화합물인 물라이트는 일정 영역의 조성비에서 나타난다. 본 연구에서 사용된 Al(OH)<sub>3</sub>, 비정질 SiO<sub>2</sub>와 AlF<sub>3</sub>의 혼합분말은 일반적으로 잘 알려져 있는 3Al<sub>2</sub>O<sub>3</sub>·2SiO<sub>2</sub>의 조성을 가지는 물라이트가 합성될 것으로 판단되는 조성인 8:7:4의 몰비로 제조되었다. Al(OH)<sub>3</sub>와 비정질 SiO<sub>2</sub>, AlF<sub>3</sub>의 조성비가 8:7:4인 조성을 중심으로 출발원료 상호간의 열적거동을 이해하기 위해 2성분계, 3성분계 혼합분말이 사용되었고 수분의 영향을 관찰하고자 하소시킨 Al(OH)<sub>3</sub>, 비정질 SiO<sub>2</sub>와 AlF<sub>3</sub>를 8:7:4 몰비로 혼합분말을 제조하여 사용하였다. 혼합분말의 분쇄, 분산을 위해 Attrition mill을 이용하였고 열분석결과에 근거하여 각 혼합분말을 열처리하였다.

각 출발물질과 혼합분말의 열분석을 위해 시차열분석기(DTA)와 열중량분석기(TGA)가 사용되었다 (SDT2960, TA Instruments, 미국). 분석시 반응성이 낮은 알루미나컵이 사용되었고 승온속도는 10°C/min로 하였다. 100 ml/min 유속의 공기분위기에서 분석이 진행되었다. 열분석결과를 근거로 열처리된 분말의 상분석을 위해 분말 엑스선 회절분석기(XRD, X'pert APD system, Philips, Netherlands.)를 이용하였으며, 시편의 미세구조 분석을 위해 SEM(S-4200, Hitachi)을 사용되었고 결정학적 관찰과 화학양론적 분석을 위해 TEM(Tecnai-20, Philips, Netherlands.)과 TEM에 장착된 EDS(CM200ST, EDAX)를 사용하였다.

## 3. 결과 및 고찰

### 3.1 출발물질

출발물질인 Al(OH)<sub>3</sub>, 비정질 SiO<sub>2</sub>, AlF<sub>3</sub>의 열적거동을 TG-DTA로 관찰하였다. Fig. 1은 Al(OH)<sub>3</sub>의 TG-DTA 열분석결과로 3개의 흡열피크가 관찰되었다. 293°C의 피크는 Boehmite의 상전이로 생성된 것이며, 303°C에서의 피크는  $\chi$ -Al<sub>2</sub>O<sub>3</sub>로 전이되는 과정에서 나타난 피크로 탈수현상을 동반하여 TG 곡선상에 약 30%의 무게 감소

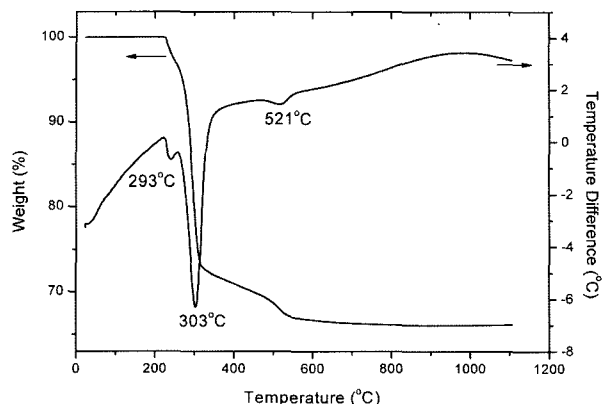


Fig. 1. TG-DTA curves of Al(OH)<sub>3</sub>. Heating rate 10°C/min.

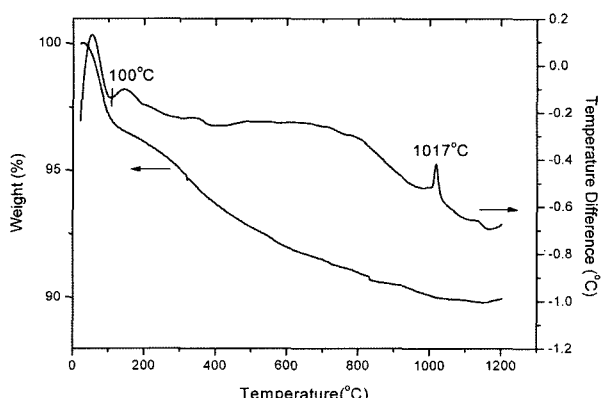


Fig. 2. TG-DTA curves of amorphous SiO<sub>2</sub>. Heating rate 10°C/min.

를 보였다. 521°C에서 나타난 흡열피크는  $\gamma$ -Al<sub>2</sub>O<sub>3</sub>로의 상전이로 사료된다.<sup>9)</sup>

Fig. 2는 비정질 SiO<sub>2</sub>의 TG-DTA 열분석 결과로서 한 개의 흡열피크와 한 개의 발열피크가 관찰되었다. 급격한 무게 감소를 동반하는 100°C에서의 흡열피크는 부착수의 분해에 의한 것으로 판단되며, TG곡선 상에 1200°C까지 지속적인 약 10%의 무게 감소는 비표면적이 넓은 비정질 실리카 표면에 흡착되어있는 OH기의 분해로 나타난 현상으로 판단된다. Fig. 3은 1000°C에서 열처리한 비정질 SiO<sub>2</sub> 분말의 XRD 분석결과 비정질패턴과 함께 저온형 Cristobalite 피크가 검출되었으며 이결과로 Fig. 2에 나타난 1017°C에서의 발열피크가 Cristobalite 형성을 나타낸 것임을 알 수 있었다.

Fig. 4는 AlF<sub>3</sub> 분말에 대한 TG/DTA 열분석결과로서 1125°C에서 승화에 의한 급격한 무게 감소를 동반하는 흡열피크가 관찰되었다. 총 무게 감소는 약 83%로 나타났지만 이중 10%는 900°C까지의 강열감양의 결과이며 70%가 AlF<sub>3</sub> 승화의 결과로 나타났다. 1200°C까지 열처리 후 잔여 분말은 XRD분석결과 모두  $\alpha$ -Al<sub>2</sub>O<sub>3</sub>로 전이되었음을 알 수 있었다.(Fig. 5)

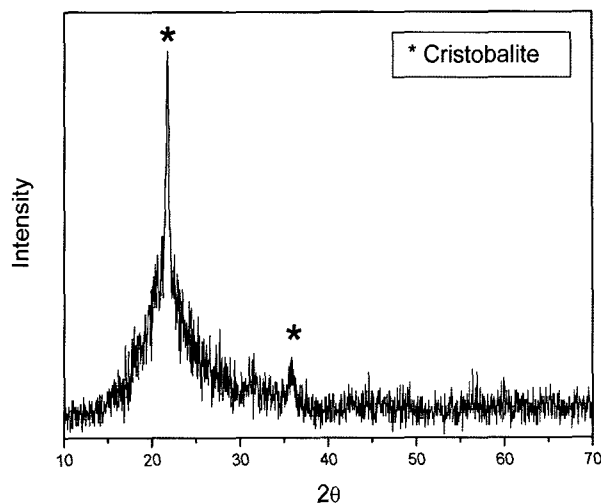


Fig. 3. X-ray Diffraction pattern of amorphous silica heat treated at 1000°C

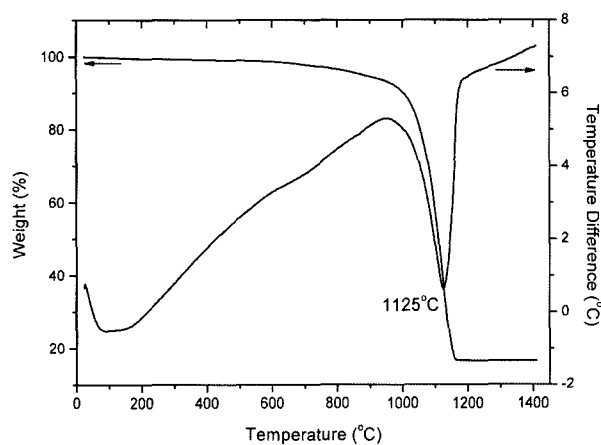


Fig. 4. TG-DTA curves of aluminium fluoride. Heating rate 10°C/min.

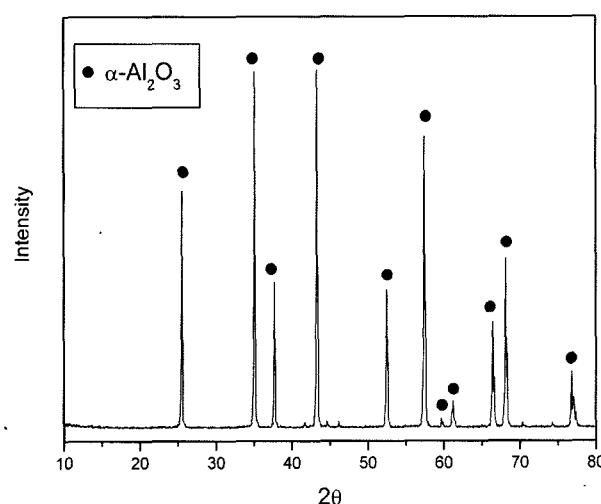


Fig. 5. X-ray Diffraction pattern of AlF<sub>3</sub> heat treated at 1200°C.

### 3.2 이성분계 혼합분말

#### 3.2.1 Al(OH)<sub>3</sub>와 AlF<sub>3</sub> 혼합분말

Fig. 6는 Al(OH)<sub>3</sub>와 AlF<sub>3</sub>를 2:1 몰비로 혼합된 분말의 TG-DTA 열분석 결과로 TGA 결과 2단계의 무게감소 현상이 관찰되었다. 첫 번째 단계는 약 650°C까지의 감소 현상으로 급격한 무게 감소 현상을 포함하고 있으며 Fig. 1과 비교해볼 때 Al(OH)<sub>3</sub>에 의한 현상임을 알 수 있다. 두 번째 단계는 650~1200°C 구간의 무게 감소현상으로 Fig. 4에서 1100°C 이상의 온도에서 나타난 급격한 AlF<sub>3</sub> 분해가 Al(OH)<sub>3</sub>와 혼합되었을 경우 650°C로 낮아졌음을 알 수 있다. 이것은 Al(OH)<sub>3</sub>에서 분해 된 수분의 영향으로 AlF<sub>3</sub>의 분해온도가 낮아졌기 때문으로 생각된다. Al(OH)<sub>3</sub>는 650°C 이상의 온도에서 큰 무게감소를 보이지 않으므로 650~1200°C 구간에서의 12.8%의 무게 감소는 AlF<sub>3</sub>의 분해에 의한 것으로 판단된다. 그러나 Fig. 4에서 AlF<sub>3</sub>의 분해로 나타난 약 70%의 무게 감소에 비교해 절반 정도에 대응되는 값이며 반응 또한 급격하게 일어나지 않았다. 그리고 최종 약 36%의 무게 감소는 출발물질이 모두 알루미나로 되었을 경우의 무게 변화 37%와 거의 유사한 결과이므로 분해된 AlF<sub>3</sub>가 300°C 이후 Al(OH)<sub>3</sub>로부터 분해된 H<sub>2</sub>O의 영향으로 α-Al<sub>2</sub>O<sub>3</sub>로 핵생성을 하거나 결정성장을 일으키고, 해리가 일어나지 않은 AlF<sub>3</sub>와 반응하여 α-Al<sub>2</sub>O<sub>3</sub>로 전이되었기 때문인 것으로 판단된다.<sup>11-15)</sup> 이와 같은 AlF<sub>3</sub>의 영향은 Al(OH)<sub>3</sub>와 혼합한 분말을 650, 700, 750°C에서 열처리한 후 XRD를 이용하여 상분석한 결과(Fig. 7)로 확인할 수 있었다. 750°C 이전의 온도에서는 γ-Al<sub>2</sub>O<sub>3</sub>와 AlF<sub>3</sub> 상이 공존하였고, 750°C에서 α-Al<sub>2</sub>O<sub>3</sub>와 AlF<sub>3</sub> 결정상이 공존하였다. 이 결과로 664°C에서의 발열피크(Fig. 6)는 AlF<sub>3</sub>의 분해로 전이중인 Al(OH)<sub>3</sub>가 γ-Al<sub>2</sub>O<sub>3</sub>로의 결정화를 촉진시켜 나타난 것으로 판단되며, 일반적으로 1000°C 이상 온도에서 일어나는 Al(OH)<sub>3</sub>에서 α-Al<sub>2</sub>O<sub>3</sub>로의 전이가 AlF<sub>3</sub>의

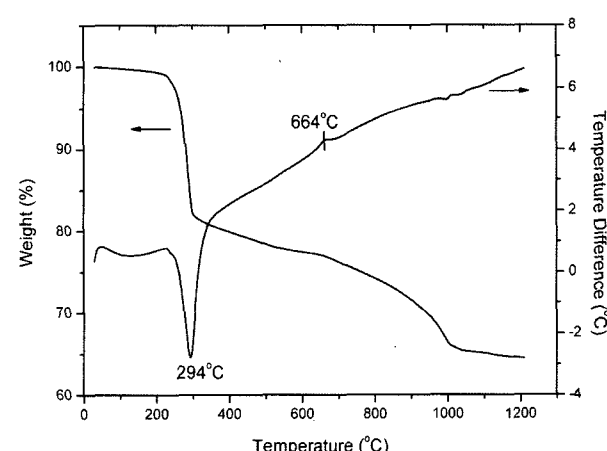


Fig. 6. TG-DTA curves of the powder with Al(OH)<sub>3</sub>-AlF<sub>3</sub> mix of mol ratio 2:1. Heating rate 10°C/min.

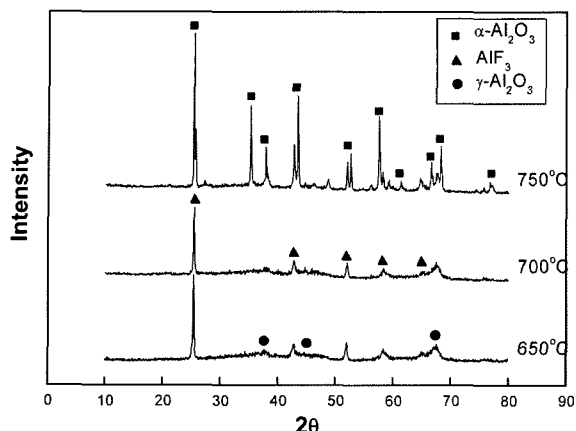


Fig. 7. X-ray Diffraction patterns of the powder with Al(OH)<sub>3</sub>-AlF<sub>3</sub> mix of mol ratio 2:1 heat treated at 650°C, 700°C, 750°C.

영향으로 750°C 부근의 낮은 온도에서  $\alpha$ -Al<sub>2</sub>O<sub>3</sub>로 빠른 상전이가 일어난다는 것을 알 수 있었다.

### 3.2.2 SiO<sub>2</sub>와 AlF<sub>3</sub> 혼합분말

Fig. 8은 비정질 SiO<sub>2</sub>와 AlF<sub>3</sub>를 몰비 7:4로 혼합한 분말에 대한 DTA/TG 열분석 결과로서 두개의 매우 작은 흡열피크가 관찰되었고 600~800°C 온도영역에서 급격한 무게 감소를 보였으며 800°C 이후의 온도 영역에서도 지속적인 무게 감소가 나타났다. Fig. 9는 혼합분말을 800°C, 1200°C에서 열처리하여 XRD로 상분석한 결과로서 800°C에서 열처리한 혼합분말은 토파즈상과 많은 양의 비정질상을 포함하고 있었으며 1200°C까지 열처리하였을 경우 물라이트가 합성되었고 Cristobalite,  $\alpha$ -Al<sub>2</sub>O<sub>3</sub>상이 검출되었다.

열분석 결과에 나타난 672°C 이전까지 7%의 무게 감소는 비정질 SiO<sub>2</sub>와 AlF<sub>3</sub>의 부착수 분해로 인한 무게 감소이며 672°C에서의 흡열피크는 부착수를 함유한 출발물질의 영향으로 낮은 온도에서의 AlF<sub>3</sub>의 분해로 판단된다. 745°C에서의 흡열피크는 AlF<sub>3</sub>의 분해와 함께 생성된 SiF<sub>4</sub>와의 반응으로 상분석 결과(Fig. 9(a))에 나타난 토파즈의 합성 때문으로 사료된다. 이런 반응들에 의해 600~800°C 온도구간에서 급격한 무게 감소가 나타난 것으로 생각된다. 1200°C까지 열처리된 혼합분말(Fig. 9(b))에서는 800°C에서 열처리된 혼합분말에서 관찰되었던 토파즈상이 검출되지 않고 물라이트상이 검출되었다. 이것은 800°C 이전 온도에서 합성된 토파즈가 800°C 이후 SiF<sub>4</sub>를 잃는 분해반응이 진행되면서 낮은 온도에서 물라이트가 합성되었기 때문인 것으로 생각되며 이로 인해 800°C 이상의 온도구간에서도 계속적인 무게감소 현상을 보이는 것으로 사료된다.<sup>16,17)</sup> 그리고 다량의 SiO<sub>2</sub>가 출발물질로 사용되었기 때문에 토파즈나 물라이트 합성반응에 참여하지 못한 많은 양의 비정질 SiO<sub>2</sub>가 저온형 Cristobalite상으로 전이되어 존재하게 되고 반응에 참여하지 못한 AlF<sub>3</sub>로부터 상전이 된  $\alpha$ -Al<sub>2</sub>O<sub>3</sub>가 존재하는 것

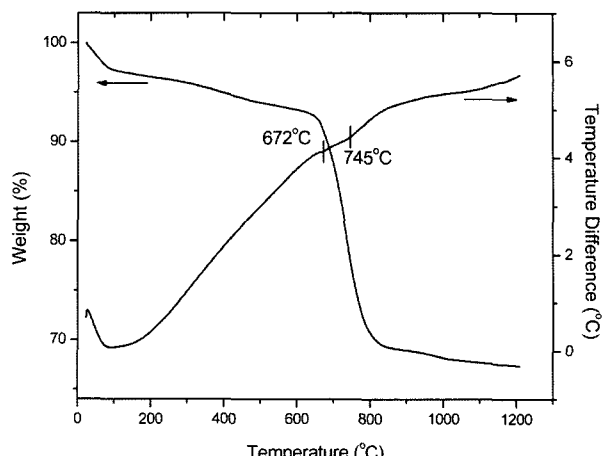


Fig. 8. TG-DTA curves of the powder with SiO<sub>2</sub>-AlF<sub>3</sub> mix of mol ratio 7:4. Heating rate 10°C/min.

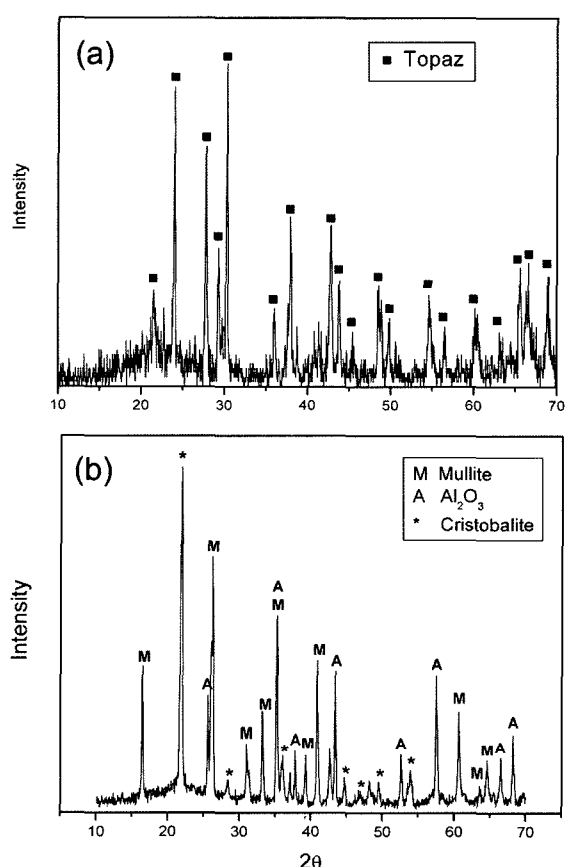


Fig. 9. X-ray Diffraction patterns of the powder with SiO<sub>2</sub>-AlF<sub>3</sub> mix of mol ratio 7:4 heat treated at (a) 800°C (b) 1200°C.

으로 판단된다.

### 3.3 3성분계 혼합분말

#### 3.3.1 수분을 함유한 혼합분말

Fig. 10은 Al(OH)<sub>3</sub>, 비정질 SiO<sub>2</sub>, AlF<sub>3</sub>를 8:7:4 몰비

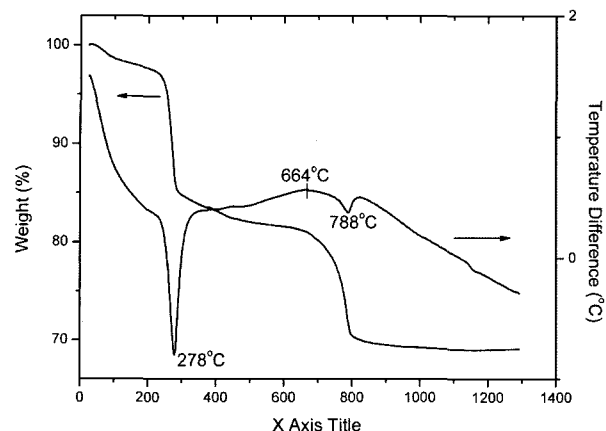


Fig. 10. TG-DTA curves of the powder with  $\text{Al(OH)}_3\text{-SiO}_2\text{-AlF}_3$  mix of mol ratio 8:7:4. Heating rate 10°C/min.

로 혼합한 분말을 TG-DTA 열분석한 결과로 두개의 흡열피크와 한 개의 발열피크가 관찰되었으며, 2단계의 급격한 무게 감소를 동반하였다. 13.6%의 급격한 무게 감소를 동반하는 278°C에서 매우 큰 흡열피크는 Fig. 1과 6에서 알 수 있었던 출발물질로 사용된  $\text{Al(OH)}_3$ 의 탈수 현상으로 판단되며 664°C에서의 작은 발열피크와 788°C에서의 흡열피크, 그리고 600~800°C 온도구간의 약 11%의 무게 감소는 Fig. 6과 8에서 나타난 결과와 비교해 볼 때 664°C에서  $\gamma\text{-Al}_2\text{O}_3$ 의 재결정과  $\text{AlF}_3$ 의 급격한 분해가 시작되며 동시에  $\text{SiF}_4$ 가 생성되는 반응의 결과이고 788°C에 나타난 흡열피크는 발생된 가스상과 고상과의 반응으로 토파즈가 합성되면서 나타난 것으로 생각된다.

Fig. 11은  $\text{Al(OH)}_3$ ,  $\text{SiO}_2$ ,  $\text{AlF}_3$ 를 8:7:4 몰비로 혼합한 혼합분말을 여러 온도에서 열처리한 후 XRD로 상분석한 결과이다. 혼합 분말을 400°C까지 열처리 하였을 경우 Boehmite와  $\text{AlF}_3$  상이 공존하였는데 이중 Boehmite는  $\text{Al(OH)}_3$ 의 내부수증기압의 발생에 의해 생성되어진 것이며 이 후 온도가 증가됨에 따라 Boehmite가 결정수를 잃고  $\gamma\text{-Al}_2\text{O}_3$ 로 상전이 되었고  $\text{AlF}_3$  또한  $\text{Al(OH)}_3$ 로부터 분해된 수분의 영향으로 계속적인 분해를 일으켜 700°C까지 열처리되었을 경우 결정상은  $\gamma\text{-Al}_2\text{O}_3$ 와 분해되지 않은  $\text{AlF}_3$ 가 존재하는 것으로 판단된다(Fig. 11(a)). 800°C부터 토파즈상과 미량의 물라이트가 관찰되기 시작하였는데 이는  $\text{Al(OH)}_3$ 로부터 시작된 상전이는 최종상인  $\alpha\text{-Al}_2\text{O}_3$ 로 되기 전에 Si, F, Al, O를 포함하는 기상들과 반응하여 토파즈를 합성하게 되고 동시에 시료내부보다는 표면부분부터 토파즈의 분해가 일어나기 시작하여 소량의 물라이트가 생성되었기 때문으로 판단된다. 800°C 이후 온도가 증가될수록 합성된 토파즈는 분해가 가속화되어 많은 양의 물라이트로 전이되었기 때문에 온도증가에 따라 물라이트상이 증가하였고 토파즈 상은 감소하는 것으로 생각되며 1100°C에서 토파즈 분

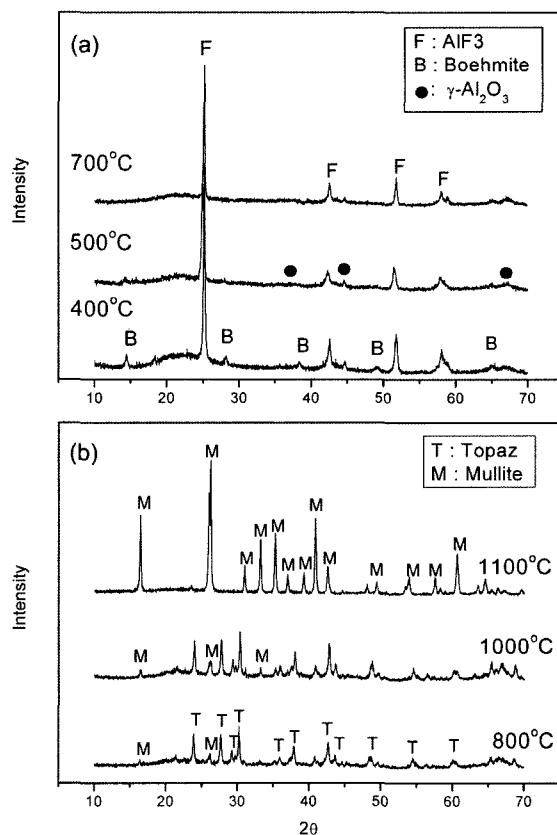


Fig. 11. X-ray Diffraction patterns of the powder with  $\text{Al(OH)}_3\text{-SiO}_2\text{-AlF}_3$  mix of mol ratio 8:7:4 heat treated at (a) 400~700°C (b) 800~1100°C.

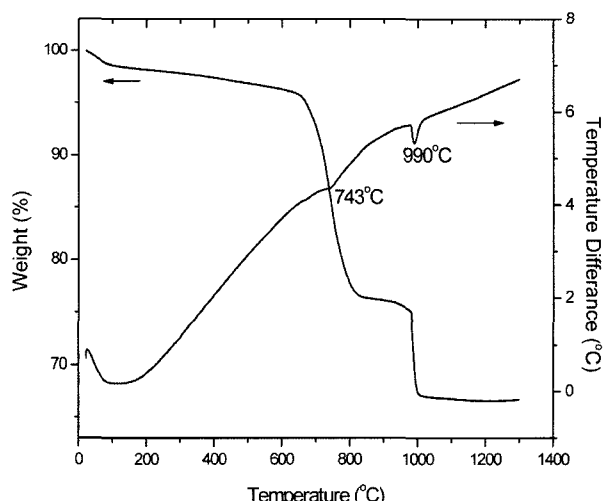


Fig. 12. TG-DTA curves of the powder with calcined  $\text{Al(OH)}_3\text{-SiO}_2\text{-AlF}_3$  mix of mol ratio 8:7:4. Heating rate 10°C/min.

해가 완료되어 물라이트상 만이 검출된 것으로 판단된다 (Fig. 11(b)).

### 3.3.2 수분을 제거한 혼합분말

Fig. 12는 800°C에서 1시간동안 하소시킨  $\text{Al(OH)}_3$ 와

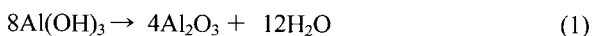
비정질 SiO<sub>2</sub> 그리고 AlF<sub>3</sub>를 8:7:4의 몰비로 혼합한 분말을 열분석 한 결과로서 743°C, 990°C에서 다량의 무게 감소를 동반하는 흡열피크가 나타났다. 990°C이전 온도까지는 SiO<sub>2</sub>와 AlF<sub>3</sub>의 이성분계와 비슷한 열적거동을 보이는데 이것은 하소시킨 Al(OH)<sub>3</sub>로부터 분해되는 수분이 없고 알루미나 전이도 이미 800°C까지 완료된 상태이므로 비정질 SiO<sub>2</sub>와 AlF<sub>3</sub>의 반응이 이 온도구간에서 주를 이루기 때문에 743°C에서의 흡열피크는 AlF<sub>3</sub>의 분해와 SiF<sub>4</sub> 생성으로 인한 토파즈 합성으로 생각된다. Fig. 13에 나타난 1000°C 열처리 결과에서의 토파즈상의 존재와 1200°C 열처리 결과에서의 토파즈와 물라이트의 부재는 743°C에서 합성된 토파즈가 이후의 고온에서 분해가 일어났으나 물라이트로 전이가 되지 않았다는 것을 보여주고 있으며 Fig. 13(a)에 나타난 많은 양의 Cristobalite는 토파즈 합성에 적은 양의 SiO<sub>2</sub>가 관여하고 나머지는 결정상으로 상전이 되었기 때문이며,  $\alpha$ -Al<sub>2</sub>O<sub>3</sub>상 또한 AlF<sub>3</sub>의 적은 양이 토파즈 합성에 관여하였고 나머지는  $\alpha$ -Al<sub>2</sub>O<sub>3</sub>로의 전이에 간접적, 직접적으로 참여하였기 때문인 것으로 사료된다. Fig. 13(b)에서의 물라이트 부재는

SiF<sub>4</sub>는 토파즈를 합성할 때와 토파즈가 분해되어 물라이트로 전이될 때 생성되지만 토파즈가 분해 될 때 Si 원자를 SiF<sub>4</sub> 형태로 모두 잃어버린다면 토파즈는 알루미나로 전이될 것으로 판단되므로 990°C에서 나타난 무게감소 (Fig. 12)를 동반하는 흡열반응은 토파즈를  $\alpha$ -Al<sub>2</sub>O<sub>3</sub>로 전이시키는 분해반응으로 사료된다. 즉 수분을 제거한 혼합분말에서는 수분과 AlF<sub>3</sub>가 반응하여 생성될 것으로 사료되는 HF가 제한되고 이 HF는 SiO<sub>2</sub>와 반응하여 생성되는 SiF<sub>4</sub> 가스를 제한시키게 될 것이다. 또한 전이를 촉진 시키는 AlF<sub>3</sub> 촉매 작용으로 이미 전이되어 반응성을 잃은 상당량의  $\alpha$ -Al<sub>2</sub>O<sub>3</sub>와 Cristobalite가 토파즈나 물라이트 합성에 관여하지 않을 것이므로 이때 생성된 토파즈의 Si 성분은 SiF<sub>4</sub>로부터 충원되고 고온에서의 토파즈 분해시 Si 성분을 모두 잃어 물라이트가 합성되지 않는 것으로 사료된다.

### 3.4 물라이트 합성

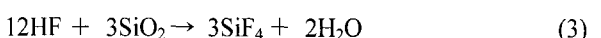
몰비 8:7:4의 Al(OH)<sub>3</sub>-SiO<sub>2</sub>-AlF<sub>3</sub> 계에서 휘스커상의 물라이트가 합성되는 것은 위 열분석과 XRD 결과로부터의 고찰되는 다음과 같은 주요 반응으로 사료된다.

8몰의 Al(OH)<sub>3</sub>는 300°C 부근의 온도에서 열분해로 상당량의 H<sub>2</sub>O를 분해시키고, 승온됨에 따라 Al<sub>2</sub>O<sub>3</sub> 상전이 과정을 거쳐 갈 것이다. 4몰의 AlF<sub>3</sub>는 Al(OH)<sub>3</sub>의 열분해로 발생된 6H<sub>2</sub>O와 반응하여 2Al<sub>2</sub>O<sub>3</sub>와 12HF를 생성하게 될 것으로 판단된다.

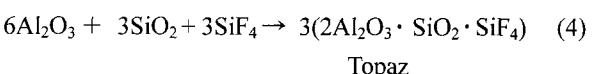


또한 AlF<sub>3</sub>는 출발물질인 Al(OH)<sub>3</sub>로부터 300°C 이상의 온도에서도 완전하게 분해 되지 못한 수분을 분해 시키는 촉매 역할로 Al<sub>2</sub>O<sub>3</sub>의 전이를 촉진시키는 것으로 사료된다.

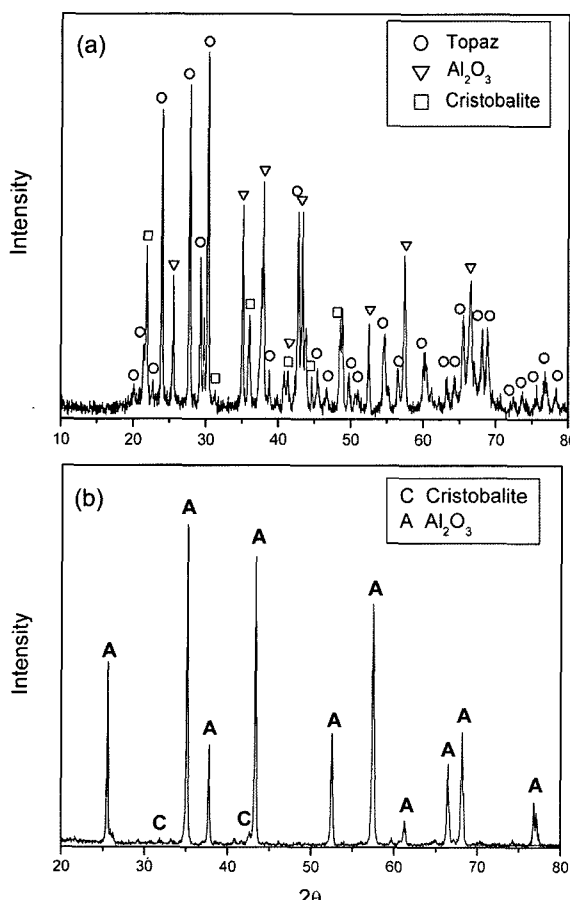
반응 (2)에서 발생된 12HF는 비정질 SiO<sub>2</sub> 7몰 중 3몰과 반응하여 3SiF<sub>4</sub> 가스를 발생시킬 것으로 생각된다.



식 (3)에서 생성된 3몰의 SiF<sub>4</sub> 가스상은 식 (1),(2)에서 생성된 6몰의 Al<sub>2</sub>O<sub>3</sub>와 7몰 중 3몰의 SiO<sub>2</sub>와 반응하여 토파즈를 형성 할 것이다.



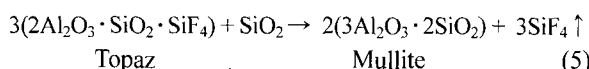
식 (3), (4) 반응은 600~800°C 열처리구간에서 거의 동시에 일어날 것이며, 토파즈 합성반응도 진행될 것이다. 788°C에서 토파즈 합성 반응은 활발히 일어날 것으로 생각된다. 그러나 적은 양의 수분은 식 (3), (4)의 반응을



**Fig. 13.** X-ray Diffraction patterns of the powder with calcined Al(OH)<sub>3</sub>-SiO<sub>2</sub>-AlF<sub>3</sub> mix of mol ratio 8:7:4 heat treated at (a) 1000°C (b) 1200°C.

제한함으로써 토파즈 합성반응에 참여하지 않는 활성이 낮은  $\text{Al}_2\text{O}_3$ 와  $\text{SiO}_2$ 가 많이 존재할 것으로 사료된다.

아래 반응식과 같이 토파즈는  $800^{\circ}\text{C}$ 부터 열분해 되기 시작하고  $1100^{\circ}\text{C}$ 에서 침상의 몰라이트와 가스상의  $\text{SiF}_4$ 를 생성하는 것으로 사료된다.



일반적인 몰라이트 합성 방법에 비해 본 실험에서의  $1100^{\circ}\text{C}$  낮은 열처리 온도에서의 전량 몰라이트가 합성되었다. 합성은 식 (2), (3)에서의 알 수 있듯이  $\text{Al}(\text{OH})_3$ 의 열분해로 생성된  $\text{H}_2\text{O}$ 가 낮은 온도에서  $\text{AlF}_3$ 의 분해를 가능하게 하는 촉매제로 작용한다는 것이 주원인으로 사료된다.

합성된 몰라이트는 주사전자현미경 분석결과(Fig. 14(a)) 전량 침상이었으며 투과전자현미경 분석결과(Fig. 14(b)) 모든 침상들이 성장 방향이 [001]이고 성장방향에 평행

한 면은 {110}면인 단결정으로 몰라이트 휘스커임을 확인 할 수 있었으며 몰라이트 휘스커의 화학적 조성을 ATEM(Analytical TEM)으로 분석한 결과  $\text{Al}_2\text{O}_3$  평균함량이 73.56wt%(표준편차 0.74)로 측정되었다.

#### 4. 결 론

출발물질로  $\text{Al}(\text{OH})_3$ , 비정질  $\text{SiO}_2$ ,  $\text{AlF}_3$  사용하여 휘스커상의 몰라이트를 합성하는데 있어 열분석을 통하여 각 성분들의 열적거동과 상호간의 반응을 이해하고자 하였다.

8:7:4의 몰비로 혼합된 분말의 TG-DTA 와 XRD분석 결과, 약  $280^{\circ}\text{C}$ 에서  $\text{Al}(\text{OH})_3$ 로부터 수분의 분해와 함께 상전이가 시작되고 약  $800^{\circ}\text{C}$ 에서 토파즈가 합성되었다. 이 후 온도가 증가됨에 따라 토파즈상이 감소하고 몰라이트상이 증가하여  $1100^{\circ}\text{C}$ 에서 전량 몰라이트 휘스커로 합성되었다. 수분을 제거한 하소시킨  $\text{Al}(\text{OH})_3$ 를 출발물질로 사용하였을 경우  $1200^{\circ}\text{C}$  열처리 후 최종 생성물은  $\alpha\text{-Al}_2\text{O}_3$ 과 미량의 Cristobalite였다.

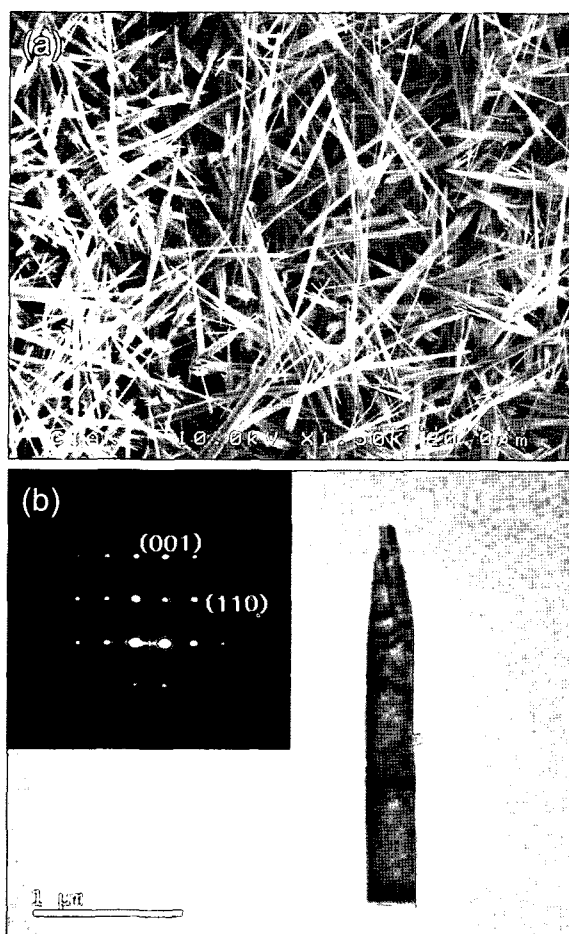
수분의 존재는  $\text{AlF}_3$ 를 낮은 온도에서 분해시킬 뿐 아니라  $\text{SiF}_4$  생성과  $\text{SiO}_2$ ,  $\text{Al}_2\text{O}_3$ 의 활성에도 영향을 주어 낮은 온도에서의 몰라이트 합성을 이끄는 촉매작용을 하여 몰라이트 합성 온도로서 매우 낮은  $1100^{\circ}\text{C}$ 에서 휘스커상의 몰라이트가 합성 되었다. 합성된 몰라이트 휘스커는 성장 방향이 [001]이고 성장방향에 평행한 면은 {110}면이었으며  $\text{Al}_2\text{O}_3$  평균함량은 73.56wt%였다.

#### 감사의 글

이 논문은 2005년도 경남대학교 학술 연구 조성비에 의하여 연구된 것임을 밝히며, 연구비 지원에 감사드립니다.

#### 참 고 문 헌

- I. A. Aksay and J. A. Pask, *J. Am. Ceram. Soc.*, **58**(11-12), 507-512 (1975).
- K. Okada and N. Otsuka, *J. Mater. Sci. Lett.*, **8**(9), 1052-54 (1989).
- I. Talmy and D. Haught, U.S. Patent 4,910,712, 1990.
- I. Talmy and D. Haught, U.S. Patent 4,911,902, 1990.
- I. Talmy and D. Haught, U.S. Patent 4,948,766, 1990.
- M. G. U. Ismail, H. Arai, Z. Nakai and T. Akiba, *J. Am. Ceram. Soc.*, **73**(9), 2736-39 (1990)
- D. S. Perera and G. Allott, *J. Mater. Sci. Lett.*, **4**(10), 1270-72 (1985).
- H. Katsuki, S. Furuta, H. Ichinose and H. Nakao, *J. Ceram. Soc. Jpn.*, **96**(11), 1081-86 (1988).
- Walter H. Gitzen, p.7, *Alumina as a Ceramic Material*, Published in the American Ceramic Society, Inc.,



**Fig. 14.** EM micrographs of mullite whisker synthesized from a mixture of  $\text{Al}(\text{OH})_3$ - $\text{SiO}_2$ - $\text{AlF}_3$  mix of mol ratio 8:7:4 heat treated at  $1100^{\circ}\text{C}$  (a) SEM image (b)TEM image (Inset shows the corresponding electron diffraction pattern.)

- Columbus, Ohio (1970).
- 10. N. Jovanovic, T. Novakovic, J. Janackovic and A. Terlecki-Baricevic, *J. Coll. Interface. Sci.*, **150**(1), 36-41 (1992)
  - 11. F. W. Dynys and J. W. Halloran, *J. Am. Ceram. Soc.*, **65**(9), 442-48 (1982).
  - 12. G. N. Gopienko, *Inorg. Metall. (Engl. Transl.)*, **8**(4), 781-82 (1972).
  - 13. K. Daimon and E. Kato, *J. Cryst. Growth*, **75**, 348-52 (1986).
  - 14. E. V. Erokhin, N. A. Zhegul'skaya, L. N. Sidorov and N. A. Akishin, *Neorg. Mater. (Engl. Transl.)*, **3**(5), 873-74 (1967).
  - 15. J. G. Kim, C. S. Park and J. S. Chun, *Thin Solid Films*, **97**, 97-106 (1982).
  - 16. A. M. Abdel-Rehim, *Thermochim. Acta*, **340-341**, 377-869 (1999).
  - 17. John R. Moyer, *J. Am. Ceram. Soc.*, **79**(11), 2965-68 (1996).